

УДК 532.526

АСИМПТОТИКА СВОБОДНОЙ ПОВЕРХНОСТИ
ТЕРМОКАПИЛЛЯРНОГО ТЕЧЕНИЯ ЖИДКОСТИ ПРИ БОЛЬШИХ
ЧИСЛАХ МАРАНГОНИ

БАТИЩЕВ В. А.

Для больших чисел Марангони построены формальные асимптотические разложения решения стационарной задачи о течении несжимаемой жидкости в неограниченной области под действием градиента температуры, заданного вдоль свободной границы. В пограничном слое вблизи свободной поверхности течение жидкости удовлетворяет системе квазилинейных уравнений, для которой в окрестности критической точки найдены автомодельные решения. Вне пограничного слоя возникает медленное течение, приближенно удовлетворяющее уравнениям невязкой жидкости. Получено уравнение свободной поверхности, которое при обращении в нуль градиента температуры определяет равновесную свободную поверхность капиллярной жидкости. Рассчитаны поверхность газового пузыря, примыкающего к твердой стенке, и форма капиллярного мениска при неравномерном нагреве свободной границы.

1. Для системы Навье – Стокса при исчезающей вязкости $\nu \rightarrow 0$ рассматривается нелинейная стационарная задача о течении несжимаемой жидкости в области D под действием термокапиллярных сил, вызванных неравномерным нагревом свободной границы Γ

$$(\mathbf{v}, \nabla) \mathbf{v} = -\frac{1}{\rho} \nabla p + \nu \Delta \mathbf{v} + \mathbf{g}, \quad \operatorname{div} \mathbf{v} = 0 \quad (1.1)$$

$$p = 2\nu\rho \mathbf{n} \cdot \Pi \mathbf{n} + \sigma(\kappa_1 + \kappa_2) + p_*, \quad (x, y, z) \in \Gamma \quad (1.2)$$

$$2\nu\rho \Pi \mathbf{n} - 2\nu\rho (\mathbf{n} \cdot \Pi \mathbf{n}) = \nabla_{\Gamma} \sigma, \quad (x, y, z) \in \Gamma$$

$$\mathbf{v} \cdot \mathbf{n} = 0, \quad (x, y, z) \in \Gamma$$

Здесь $\mathbf{v} = (v_x, v_y, v_z)$, $\mathbf{g} = -g \mathbf{e}_z$, $\mathbf{e}_z = (0, 0, 1)$ — орт оси z , g — ускорение силы тяжести, ρ — плотность жидкости, κ_1 и κ_2 — кривизны главных нормальных сечений свободной поверхности Γ , \mathbf{n} — единичный вектор внешней нормали к Γ , Π — тензор скоростей деформации, p_* — заданное давление на Γ , $\nabla_{\Gamma} = \nabla - (\mathbf{n} \nabla) \mathbf{n}$ — градиент вдоль Γ . Коэффициент поверхностного натяжения считается линейной функцией температуры $\sigma = \sigma_0 + \sigma_t(T - T_*)$, где σ_0 , σ_t , T_* — константы, $\sigma_t < 0$, а температура T задана вдоль Γ . Предполагается, что область D не ограничена и задано поле скоростей на бесконечности.

В результате неравномерного нагрева свободной границы возникает ненулевой градиент поверхностного натяжения $\nabla_{\Gamma} \sigma$, который приводит к появлению касательных напряжений на Γ и формированию нелинейного пограничного слоя при $\nu \rightarrow 0$. При отсутствии касательных напряжений на Γ уравнения пограничного слоя линеаризуются и решаются в квадратурах [1]. Исследованию нелинейных пограничных слоев Марангони, возникающих вследствие термокапиллярного эффекта, посвящены работы [2–6]. В [7] построена асимптотика течения жидкости малой вязкости при заданных касательных напряжениях на Γ .

Преобразуем задачу (1.1), (1.2) к безразмерному виду введением характерных масштабов длины L и скорости $U = (|\sigma_t|^2 A^2 L \rho^{-2} \nu^{-1})^{1/2}$, где A — характерный градиент температуры на Γ . Выделяя гидростатическое давле-

ние $p_0 = -\rho g z$ и определяя масштаб давления $P = \sigma_0/L$, представим p в виде $p = Pp' + p_0$. Введем малый параметр $\epsilon = M^{-1/3}$, где $M = |\sigma_T| L^2 A \rho^{-1} v^{-2}$ — число Марангони. Приравнивая порядки вязких и инерционных членов в системе Навье — Стокса и в краевых условиях для касательных напряжений находим, что порядок скорости в пограничном слое $O(U)$, а порядок толщины пограничного слоя ϵ . Асимптотические разложения решения задачи (1.1), (1.2) при $\epsilon \rightarrow 0$ строятся в виде

$$\mathbf{v} \sim \mathbf{h}_0 + \epsilon(\mathbf{h}_1 + \mathbf{v}_1) + \dots, \quad p' \sim \lambda q_0 + \epsilon \lambda (p_1 + q_1) + \dots, \quad \zeta \sim \zeta_0 + \epsilon \zeta_1 + \dots \quad (1.3)$$

Здесь $\lambda = |\sigma_T| AL/\sigma_0$ — «капиллярная» константа [4], $\mathbf{z} = \zeta(x, y)$ — уравнение свободной границы Γ , \mathbf{h}_k, q_k — функции типа решений задачи пограничного слоя, а \mathbf{v}_k, p_k определяют решение всюду вне области пограничного слоя.

2. Краевая задача для главных членов асимптотики (1.3), определяющих течение в пограничном слое вблизи свободной границы, получается применением к системе (1.1), (1.2) второго итерационного процесса методом Вишника — Люстерника [8]. Вблизи Γ введем локальные ортогональные координаты ξ, φ, θ [7], где ξ — расстояние точки $N(x, y, z)$ до поверхности Γ , а φ, θ — криволинейные координаты на Γ основания нормали, опущенной из точки N на поверхность Γ . Предполагается, что отрезки нормалей к Γ при достаточно малых ξ не пересекаются. Пусть $h_{\varphi 0}, h_{\theta 0}, h_{\xi 0}$ — компоненты вектора \mathbf{h}_0 в локальных координатах. Подставляем (1.3) в (1.1), (1.2), разлагаем \mathbf{v}_1, p_1 в ряды Тейлора по степеням ξ и вводим преобразование растяжения $\xi = \epsilon s$. Вводим обозначение $H_{\xi 1} = h_{\xi 1} + \mathbf{v}_1 \mathbf{n}_1|_\Gamma$. Приравнивая нулю коэффициенты при ϵ^{-1}, ϵ , находим $h_{\xi 0} = 0$, а для $h_{\varphi 0}, h_{\theta 0}, H_{\xi 1}$ выводим краевую задачу

$$\begin{aligned} g_\varphi^{-1} h_{\varphi 0} \frac{\partial h_{\varphi 0}}{\partial \varphi} + g_\theta^{-1} h_{\theta 0} \frac{\partial h_{\theta 0}}{\partial \theta} + H_{\xi 1} \frac{\partial h_{\varphi 0}}{\partial s} + \delta^{-1} \frac{\partial g_\varphi}{\partial \theta} h_{\varphi 0} h_{\theta 0} - \delta^{-1} \frac{\partial g_\theta}{\partial \varphi} h_{\theta 0}^2 &= \frac{\partial^2 h_{\varphi 0}}{\partial s^2} \\ g_\varphi^{-1} h_{\varphi 0} \frac{\partial h_{\theta 0}}{\partial \varphi} + g_\theta^{-1} h_{\theta 0} \frac{\partial h_{\theta 0}}{\partial \theta} + H_{\xi 1} \frac{\partial h_{\theta 0}}{\partial s} + \delta^{-1} \frac{\partial g_\theta}{\partial \varphi} h_{\varphi 0} h_{\theta 0} - \delta^{-1} \frac{\partial g_\varphi}{\partial \theta} h_{\varphi 0}^2 &= \frac{\partial^2 h_{\theta 0}}{\partial s^2} \\ \frac{\partial}{\partial \varphi} (g_\theta h_{\varphi 0}) + \frac{\partial}{\partial \theta} (g_\varphi h_{\theta 0}) + \frac{\partial}{\partial s} (\delta H_{\xi 1}) &= 0 \\ \frac{\partial h_{\varphi 0}}{\partial s} = -\frac{1}{g_\varphi} \frac{\partial \sigma}{\partial \varphi}, \quad \frac{\partial h_{\theta 0}}{\partial s} = -\frac{1}{g_\theta} \frac{\partial \sigma}{\partial \theta}, \quad H_{\xi 1} = 0 & \quad (s=0) \\ h_{\varphi 0} = h_{\theta 0} = 0 & \quad (s=\infty) \end{aligned} \quad (2.1)$$

Здесь g_φ, g_θ — коэффициенты Ламэ поверхности Γ , $\delta = g_\varphi g_\theta$. Вектор-функция \mathbf{h}_1 удовлетворяет линейной краевой задаче, которая здесь не приводится. Отметим, что задача (2.1) в плоском случае изучена в [6], где найдены условия ее разрешимости.

Главный член в асимптотическом разложении (1.3) для давления получается в виде

$$q_0 = -\kappa_1 \int_s^\infty h_{\varphi 0}^2 ds - \kappa_2 \int_s^\infty h_{\theta 0}^2 ds \quad (2.2)$$

Так же как и в [7], легко получить выражение для q_0 на свободной границе в осесимметричном случае

$$q_0|_\Gamma = -\frac{\kappa_1}{g_\theta} \left(\int_{\varphi_0}^\varphi g_\theta \frac{\partial \sigma}{\partial \varphi} d\varphi + g_\theta|_{\varphi=\varphi_0} \int_0^\infty f_0^2(s) ds \right) \quad (2.3)$$

где $f_0 = h_{\varphi 0}(s, \varphi_0)$ — профиль скорости в пограничном слое в сечении $\varphi = \varphi_0$.

Ввиду осевой симметрии $h_{\theta 0}=0$, $\sigma=\sigma(\varphi)$, $g_\theta=g_\theta(\varphi)$. Отметим, что удобно выбрать такое φ_0 , при котором известно значение $f_0(s)$, например если точка с координатой φ_0 лежит на оси симметрии, то $f_0=0$, а функция q_0/g определяется без решения системы пограничного слоя.

Краевая задача для функций v_1 , p_1 , определяющих течение вне области пограничного слоя, и асимптотическая форма свободной границы получаются применением первого итерационного процесса [8] к системе (1.1), (1.2). Для v_1 , p_1 получаем уравнение Эйлера идеальной жидкости. Свободную границу невязкого течения, определяемую уравнением $z=\xi_0$, обозначим через Γ_0 . Введем локальные ортогональные координаты ξ_1 , φ_1 , θ_1 вблизи Γ_0 , где ξ_1 — расстояние до Γ_0 . Главные кривизны поверхности Γ разлагаем в асимптотические ряды $\kappa_1 \sim \kappa_{10} + \varepsilon \kappa_{11} + \dots$, $\kappa_2 \sim \kappa_{20} + \varepsilon \kappa_{21} + \dots$, где κ_{10} , κ_{20} — главные кривизны поверхности Γ_0 . Подставляем разложения (1.3) в динамическое условие для нормального напряжения (1.2) и, приравнивая нуль коэффициент при ε^0 , выводим уравнение Γ_0 , которое запишем с учетом (2.2) в размерной форме

$$\sigma(\kappa_{10} + \kappa_{20}) + \kappa_{10} \int_0^\infty h_{\varphi 0}^2 ds + \kappa_{20} \int_0^\infty h_{\theta 0}^2 ds = \rho g z + c \quad (2.4)$$

Приведем уравнение Γ_0 с учетом (2.3) в осесимметричном случае

$$\sigma(\kappa_{10} + \kappa_{20}) + \frac{\kappa_{10}}{g_\theta} \left[\int_{\varphi_0}^\sigma g_\theta \frac{\partial \sigma}{\partial \varphi} d\varphi + g_\theta|_{\varphi=\varphi_0} \int_0^\infty f_0 ds \right] = \rho g z + c \quad (2.5)$$

При $\lambda=0$ ($\sigma=\text{const}$) уравнения (2.4), (2.5) определяют равновесную свободную поверхность в поле сил тяжести [9].

Невязкое течение вне пограничных слоев определяется путем решения краевой задачи

$$(\mathbf{v}_1, \nabla) \mathbf{v}_1 = -\nabla p_1, \operatorname{div} \mathbf{v}_1 = 0$$

$$\mathbf{v}_1 \mathbf{n}_0|_{r_0} = H_{\xi_1}|_{\xi_1=\infty}, \mathbf{v}_1 = 0 \quad (x^2 + y^2 + z^2 = \infty)$$

3. Построим автомодельные решения задачи (2.1) о течении в пограничном слое вблизи критической точки в осесимметричном случае. Отметим, что в плоском случае автомодельные решения найдены в [3]. Пусть коэффициент поверхностного натяжения зависит от координаты φ по степенному закону $\partial\sigma/\partial\varphi = -a\varphi^n$, где φ — длина дуги, отсчитываемая вдоль Γ от оси симметрии. Полагаем $h_{\theta 0}=0$, $\partial h_{\varphi 0}/\partial\theta=0$, $g_\theta=r(\varphi)$, $g_\varphi=1$ в (2.1), r — расстояние до оси симметрии. Рассмотрим случай $r=r_0\varphi$. Введем функцию тока Ψ по формулам $h_{\varphi 0}=\partial\Psi/\partial s$, $H_{\xi_1}=-r^{-1}\partial(r\Psi)/\partial\varphi$ и обозначим $\eta_1=s\varphi^{(n-1)/3}$. Представляя ψ в виде $\psi=\varphi^{(n+2)/3}F_1(\eta_1)$, для функции $F_1(\eta_1)$ выводим краевую задачу (начальный профиль задавать не надо, так как он определяется условием автомодельности)

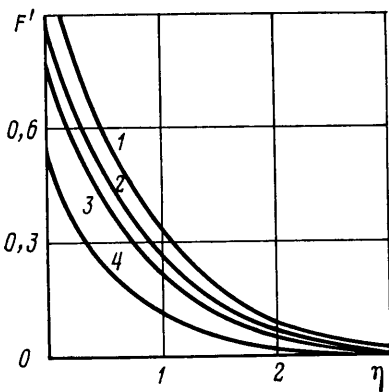
$$F_1''' + \frac{n+5}{3} F_1 F_1'' - \frac{2n+1}{3} F_1'^2 = 0 \quad (3.1)$$

$$F_1(0) = F_1'(\infty) = 0, F_1''(0) = -a$$

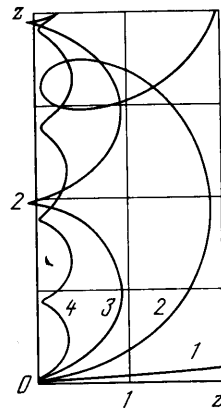
Интегрируя (3.1) на полуоси $(0, \infty)$, легко показать, что $a(n+2)>0$. Задача (3.1) имеет при $n=4$, $a>0$ точное экспоненциальное решение, а при $n=-5$, $a<0$ — степенное

$$F_1 = 4/3 \sqrt[3]{3a} [1 - \exp(-\sqrt[3]{3a} \eta_1)]$$

$$F_1 = 2\sqrt[3]{0.25a} \eta_1 / (\eta_1 + \sqrt[3]{-4/a})$$



Фиг. 1



Фиг. 2

Численные решения задачи (3.1) приведены на фиг. 1 для $F'_1 = a^{1/n} F'(\eta)$, $\eta = a^{1/n} \eta_1$. Кривые 1–4 соответствуют значениям $n=0, 1, 2, 10$. Функция $F'(\eta)$ монотонно убывает, а $F(\eta)$ монотонно возрастает с ростом η и стремится к конечному пределу. При $n=1$ приведем значения $F'(0)=0,8987$ и $F(\infty)=0,7124$. Приведем точное решение $F_1=2k \operatorname{th}(k\eta_1)$, $k=\text{const}$, при $n=-2$, $a=0$. Это решение соответствует точечному распределению температуры $T=T_*=\text{const}$ при $\varphi>0$ и $T\neq T_*$ при $\varphi=0$.

4. Форма пузыря в неоднородной жидкости. Рассмотрим осесимметричную задачу о расчете формы газового пузыря, примыкающего к твердой горизонтальной стенке. Теперь асимптотический метод применяется к вязкой теплопроводной жидкости. Используются уравнения движения в приближении Буссинеска [9], которые получаются заменой \mathbf{g} в уравнениях (1.1) на $-g\alpha T$ (α – коэффициент теплового расширения) и при соединением уравнения теплопроводности

$$\mathbf{v} \nabla T = \chi \Delta T \quad (4.1)$$

где χ – коэффициент температуропроводности. Считаем, что внутри пузыря находится теплопроводный газ, движением которого пренебрегаем. Тогда из приближения Буссинеска при $\mathbf{v}=0$ следует $p=p(z)$, $T=T_1(z)$, а из (4.1) находим, что температура газа линейно изменяется с высотой $T_1=A_1z+B_1$. Асимптотические разложения, определяющие поле скоростей и давление в жидкости, строятся по формулам (1.3). В аналогичный ряд по степеням ϵ разлагается и температура. На бесконечности жидкость поконится и задан постоянный градиент температуры $\nabla T_\infty = A\mathbf{e}_z$. При заданном тепловом потоке на твердой стенке q константа A_1 легко определяется: $A_1=q/\lambda_1$ (λ_1 – коэффициент теплопроводности газа), а при заданной температуре стенки для определения B_1 решается уравнение (4.1).

Изучим влияние термокапиллярных сил на форму пузыря, пренебрегая силами плавучести в пограничном слое и изменением давления в газе, вызванным неоднородностью температуры. Это выполняется при условиях $\epsilon^4 G \ll 1$ и $\rho_1 \alpha_1 A L \ll \rho_2$, где $G=g\alpha_2 A L^2/\nu$ – число Грасгофа; ρ_1 , α_1 – средняя плотность и коэффициент теплового расширения в газе, а ρ_2 , α_2 – в жидкости. Тогда поле скоростей и давления в пограничном слое определяются из (2.1), (2.2), а граница пузыря удовлетворяет (2.5). Теперь, подставляя соотношение $T_1=A_1z+B_1$ в формулу, выражающую линейную зависимость σ от температуры, и принимая A_1 за масштаб градиента температуры, выводим формулу для безразмерного коэффициента поверхности натяжения $\sigma=1+\lambda z$.

Далее рассматривается влияние параметра λ на форму пузыря. Легко показать, что $f_0(s)=0$ в (2.5). Обозначим через φ длину дуги Γ в осевом

сечении. Полагаем в (2.5) $\varphi_0=0$, т. е. сечение $\varphi=\varphi_0$ в пограничном слое выбираем на оси симметрии, совпадающей с осью z . При $\varphi\rightarrow 0$ параметрические уравнения свободной границы представим в виде разложений по степеням φ [9] $z=0,25 c\varphi^2+\dots$, $r=r_0\varphi+\dots$ (r , z – цилиндрические координаты), тогда $\partial\sigma/\partial\varphi=0,5\lambda c\varphi+\dots$ Решение уравнения пограничного слоя также разлагаем в ряд $\psi=\varphi F_1(s)+\varphi^2 F_2(s)+\dots$ Функция $F_1(s)$ удовлетворяет уравнению (3.1) при $n=1$, график $F_1'(s)$ приведен на фиг. 1 (кривая 2). Функции F_2 , ... определяются из линейных краевых задач. Итак, $f_0=[\partial\psi/\partial s]_{\varphi=0}=0$. Теперь уравнение свободной границы (2.5) для $z=\xi_0(r)$ в цилиндрических координатах запишем в безразмерном виде со следующими краевыми условиями:

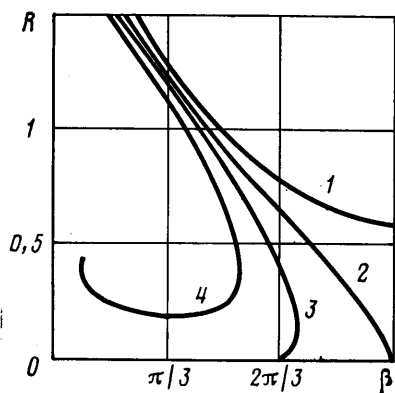
$$\frac{\xi_0''}{(1+\xi_0'^2)^{3/2}} \left(1 + 2\lambda\xi_0 - \frac{\lambda}{r} \int_0^r \xi_0 dr \right) + \frac{(1+\lambda\xi_0)\xi_0'}{r\sqrt{1+\xi_0'^2}} = \xi_0 B + c \quad (4.2)$$

$$\xi_0'(0)=0, \quad \xi_0(R)=0, \quad \xi_0'(R)=-\tan\beta$$

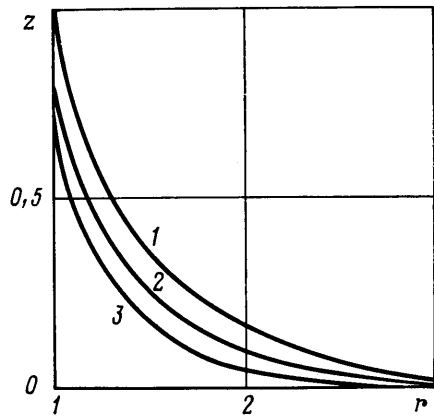
Здесь R – радиус основания пузыря, β – угол контакта газа с твердой стенкой, $B=\rho_0 g L^2/\sigma_0$ – число Бонда. При численном интегрировании уравнение (4.2) записывалось в параметрической форме с длиной дуги в качестве параметра. Вблизи оси симметрии численное решение сопрягалось с приведенными выше степенными рядами для $r(\varphi)$, $z(\varphi)$. Безразмерный объем пузыря полагался равным единице. Задавались угол контакта β и число Бонда. Капиллярная константа λ изменялась как параметр, а определялись константа c и радиус основания пузыря R . На фиг. 2 изображены интегральные кривые уравнения (4.2) при $B=0,1$ и $\lambda=0,03$. Кривые 1–4 соответствуют значениям $c=0,1; 1; 2,19757; 5$. При $c=0,1$ и 1 кривые 1–2 имеют типичный вид интегральных кривых равновесной свободной границы при отсутствии нагрева ($\lambda=0$) для положительных перегрузок $g>0$, а кривая 4 – для отрицательных перегрузок $g<0$ [9]. При $c=c_*=2,1975$ интегральные кривые пересекают ось z , чего не наблюдается при $\lambda=0$. Для этих значений c , радиус основания пузыря обращается в нуль, и замкнутый пузырь, отрываясь от стенки, находится в равновесии под действием термокапиллярных и гравитационных сил. Воздействие термокапиллярных сил больше гравитационных при $c>c_*$ и меньше при $c<c_*$.

Типичные графики зависимости радиуса основания пузыря от угла контакта изображены на фиг. 3. Численные расчеты проводились при $0 < B \leq 1$. Каждой кривой соответствует $\lambda=\text{const}$, $B=\text{const}$, а параметр c увеличивается с ростом β . Нулевому градиенту температуры вдоль свободной границы ($\lambda=0$) соответствует кривая 1. При $0 \leq \lambda < \lambda_1$, радиус основания пузыря больше нуля для всех β и при фиксированном β убывает с ростом λ . Значению $\lambda=\lambda_1$, соответствует кривая 2, на которой в точке $\beta=\pi$ радиус R обращается в нуль. При $\lambda_1 < \lambda \leq \lambda_2$ радиус основания пузыря также обращается в нуль для соответствующих $c=c_*(\lambda)$. Типичный график $R(\beta)$ для таких λ изображает кривая 3. Отметим, что $\beta=\pi/2$ при $R=0$ и $\lambda=\lambda_2$. При $c=c_*$ свободная поверхность замкнута, имеет угловую точку с величиной угла $2\beta-\pi$, а газовый пузырь не касается стенки и находится в равновесии. При $\lambda=\lambda_1$, $c=c_*$ поверхность пузыря близка к сфере, сплюснутой вдоль оси вращения. Меридиональное сечение этой сферы при $B=0,1$ близко к интегральной кривой 3 на фиг. 2 ($0 \leq z \leq 1,87$).

При $\lambda > \lambda_2$ кривая 4 (фиг. 3) изображает характерный вид кривых $R(\beta)$, которые не пересекают координатную ось β . Для этих λ радиус основания пузыря не обращается в нуль, а при $\lambda > \lambda_1$ существует максимальное значение угла контакта $\beta_* < \pi$, например $\beta_*=169^\circ$ при $\lambda=0,03$ и $B=0,1$. Приведем численные значения параметров $\lambda_1=0,022$; $\lambda_2=0,047$; $c_*(\lambda_1)=2,197$ при $B=0,1$. Отметим, что при заданном β свободная граница вытягивается вдоль оси вращения при увеличении λ и c .



Фиг. 3



Фиг. 4

В (4.2) не входят функции пограничного слоя, проявляющие себя в D_1 — окрестности линии контакта свободной границы и твердой стенки. В D_1 асимптотические разложения носят более сложный характер, чем (1.3). Уравнения пограничного слоя в этой области совпадают с полными уравнениями Навье — Стокса. Функции пограничного слоя дают вклад в уравнение свободной границы лишь в высших приближениях и потому здесь не приводятся. Асимптотическое исследование системы Навье — Стокса вблизи линии контакта проведено в [10].

Форма капиллярного мениска при неравномерном нагреве свободной поверхности. Рассмотрим случай, когда жидкость заполняет безграничную область вне цилиндра радиуса R и ограничена свободной поверхностью Γ , образующей в точке контакта с цилиндром угол смачивания $\pi/2 - \beta$. Распределение температуры вдоль свободной границы считаем заданным, поэтому функция $\sigma(\phi)$ известна (ϕ — длина дуги Γ , отсчитываемая от стенки). Рассмотрим осесимметричный случай. Свободная граница Γ_0 удовлетворяет уравнению (2.5). Предположим, что градиент температуры отрицателен, тогда $\partial\sigma/\partial\phi > 0$, а система пограничного слоя (2.1) имеет автомодельное решение в окрестности $\phi=0$ [3], из которого следует, что $f_0(s)=0$. Уравнение (2.5) численно интегрировалось при $B=1$, $\beta=\pi/3$ и кусочно-линейном распределении температуры $T-T_*=-\lambda\phi$ ($0 \leq \phi \leq 1$), $T-T_*=-\lambda(\phi>1)$. Радиус цилиндра принят за масштаб длины. На фиг. 4 приведены результаты расчетов формы свободной границы в цилиндрических координатах. Кривые 1—3 соответствуют значениям $\lambda=1; 0,5; 0$. С ростом λ свободная граница смещается вверх. Кривая $\lambda=0$ соответствует равновесной свободной границе капиллярной жидкости [9] при отсутствии градиента температуры. Численное исследование зависимости высоты мениска $H=\zeta_0(0)$ от угла контакта $\pi/2 - \beta$ и капиллярной константы λ показало, что высота H увеличивается с ростом параметров β и λ .

ЛИТЕРАТУРА

- Багищев В. А. Асимптотика осесимметричных течений жидкости со свободной границей при исчезающей вязкости // Журн. прикл. механики и техн. физики. 1975. № 3. С. 101—109.
- Napolitano L. G. Marangoni boundary layers // Proc. III European Symp. on Material Sci. in Space. Grenoble, 1979. P. 313—315.
- Napolitano L. G., Golia C. Coupled Marangoni boundary layers: Appl. Space Develop. Select. pap. 31st Intern. Astronaut. Congress. Tokyo, 22—27. September, 1980 // Acta Astronautica. 1981. V. 8. № 5—6. P. 417—434.
- Cowley S. J., Davis H. Viscous thermocapillary convection at high Marangoni number // J. Fluid Mech. 1983. V. 135. P. 175—188.

5. *Puhnachov V. V.* Boundary layers near free surfaces // Computational and asymptotic methods for boundary and interior layers. Dublin: Bool Press, 1982. P. 97–110.
6. Кузнецов В. В. О существовании пограничного слоя вблизи свободной поверхности // Математические проблемы мех. сплошных сред. Динамика сплошной среды. Новосибирск: ИГ СО АН СССР, 1984. Вып. 67. С. 68–75.
7. Батищев В. А. Об асимптотике течений маловязкой жидкости при действии касательных напряжений на свободной границе. // Журн. прикл. механики и техн. физики. 1987. № 5. С. 101–107.
8. Вишик М. И., Люстерник Л. А. Регулярное вырождение и пограничный слой для линейных дифференциальных уравнений с малым параметром // Успехи мат. наук. 1957. Т. 12. № 5 (77). С. 3–122.
9. Бабский В. Г., Коначевский Н. Д., Мышкис А. Д. и др. Гидромеханика невесомости/Под ред. Мышкиса А. Д. М.: Наука, 1976. 504 с.
10. Moffatt H. K. Viscous and resistive eddies near a sharp corner // J. Fluid Mech. 1964. V. 18. № 1. P. 1–18.

Ростов-на-Дону

Поступила в редакцию
22.III.1988